

Le problème de conjugaison dans
le groupe d'une 3-variété ov.; géom.

J. Ph. Préaux

déc. 2002

Classes algébriques

	WP	CP
gpes fins, libres, (abeliens) nilpotents.	✓	✓
gpes résiduellement fins, résid ^t nilpotents	✓	X
Sous-gpes f.p. de $GL(n; \mathbb{Z})$	✓	?

✓ : problème résoluble. X : pbme insoluble pour un tel gpe.

Stabilité par construction élémentaire

Produit direct $A \times B$	✓	✓
Produit libre $A * B$	✓	✓
Produit amalgamé $A *_C B$	X	X
Extension HNN $A *_{\alpha}$	(✓ si conditions sur C)	X
Extension fini Sous-gpe d'indice fini	✓	X

✓ : résoluble si résoluble dans A et B . X insoluble en général.

Classes provenant de géométrie des groupes.

gpes à petite simplification (Dehn...) ⇒ gpes de surface.	✓	✓
gpes hyperboliques (Gromov) ⇒ plupart des précédents gpes de var. fermées de courbure < 0 .	✓	✓
gpes biautomatiques (Epstein, Thurston) ⇒ les précédents gpes de var. de courbure ≤ 0	✓	✓
gpes automatiques (Eps.; Thu.) ⇒ précédents + bcp de gpes de 3-var.	✓	?

Conjecture de géométrisation de Thurston -

Décomposition topologique d'une 3-variété orientable M .

Décomposer M le long de :

- S^2 essentiels (Kneser-Milnor)
- D^2 essentiels
- $S^1 \times S^1$ essentiels (JSJ)

Jusqu'à l'obtention de pièces 2-irréductibles, qui sont soit :

- des fibrés de Seifert
- atoroidales

Hypothèse de géométrisation de Thurston (HGT)

Les pièces obtenues dans la décomposition topologique de M , admettent une métrique Riemannienne complète, localement homogène -

(Thurston) Elles sont modélisées sur les géométries :

- E^3 , S^3 , H^3 , $H^2 \times \mathbb{R}$, $S^2 \times \mathbb{R}$, $\widetilde{SL}_2 \mathbb{R}$, Nil, Sol.

Conjecture (Thurston) : Toute 3-variété vérifie HGT.

(Prouvée dans de nombreux cas...)

Remarques : - La conjecture de Thurston entraîne la conj. de Poincaré
- Elle permet une classification des 3-variétés.

Réduction du problème de conjugaison.

1) M une 3-variété, $\partial M \neq \emptyset$.

$2M$ la 3-variété obtenue en "doublant" M le long de son bord.



On a un plongement naturel: $\pi_1(M) \hookrightarrow \pi_1(2M)$

Lemme: $u, v \in \pi_1(M)$. $u \sim v$ dans $\pi_1(M)$

ssi $u \sim v$ dans $\pi_1(2M)$.

\Rightarrow On pourra supposer que $\partial M = \emptyset$.

2) M une 3-variété fermée.

Décomposition de Kneser-Milnor: $M = M_1 \# M_2 \# \dots \# M_n$

Chacun des M_i est soit $S^1 \times S^2$, soit irréductible (i.e. toute sphère plongée borde une boule). On a: $\pi_1(M) = \pi_1(M_1) * \pi_1(M_2) * \dots * \pi_1(M_n)$

Or CP est stable par produit libre, et $\pi_1(S^1 \times S^2) = \mathbb{Z}$ a un CP résoluble.

\Rightarrow On pourra supposer que M est irréductible.

3) M fermée, irréductible, vérifiant HGT. Alors M est soit:

— Hyperbolique

— fibré de Seifert.

— Modèle sur Sol

— Haken (i.e. $M \supset$ surface incomp.)

Réduction du problème de conjugaison.

1) M une 3-variété, $\partial M \neq \emptyset$.

$2M$ la 3-variété obtenue en "doublant" M le long de son bord.



On a un plongement naturel: $\pi_1(M) \hookrightarrow \pi_1(2M)$

Lemme: $u, v \in \pi_1(M)$. $u \sim v$ dans $\pi_1(M)$

ssi $u \sim v$ dans $\pi_1(2M)$.

\Rightarrow On pourra supposer que $\partial M = \emptyset$.

2) M une 3-variété fermée.

Décomposition de Kneser-Milnor: $M = M_1 \# M_2 \# \dots \# M_n$

Chacun des M_i est soit $S^1 \times S^2$, soit irréductible (i.e. toute sphère plongée borde une boule). On a: $\pi_1(M) = \pi_1(M_1) * \pi_1(M_2) * \dots * \pi_1(M_n)$

Or CP est stable par produit libre, et $\pi_1(S^1 \times S^2) = \mathbb{Z}$ a un CP résoluble.

\Rightarrow On pourra supposer que M est irréductible.

3) M fermée, irréductible, vérifiant HGT. Alors M est soit:

CP? - Résoluble. $\pi_1(M)$ est hyperbolique au sens de Gromov.

✓ Hyperbolique

— fibré de Seifert.

— Facile (nous le traitons)

✓ Modèle sur Sol

* $\pi_1(M)$ est $\mathbb{Z} \oplus \mathbb{Z} * \mathbb{Z}$ ou l'anneau de 2 copies de $\pi_1(KB_2)$.

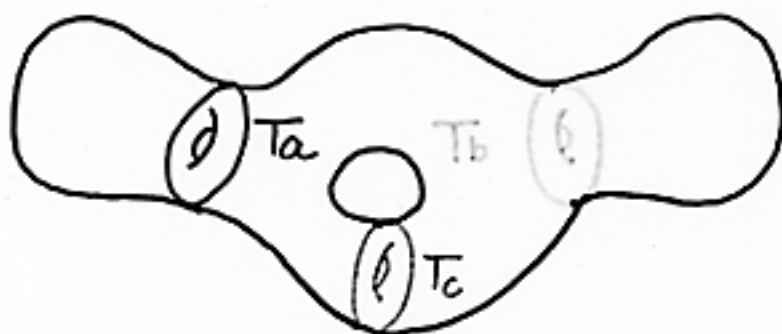
— Haken (i.e. $M \supset$ surface incomp.)

On pourra supposer que M n'est pas un tore sur le cercle. (sinon...)

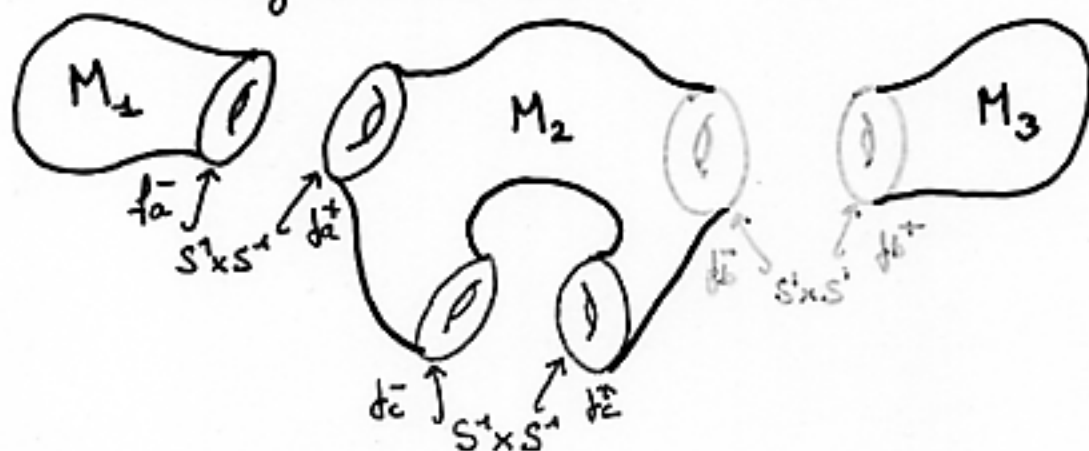
Décomposition JSJ d'une 3-variété Haken fermée M

- \exists système de tores essentiels, plongés dans M , "minimal" à isotopie près.

M :



- "Couper" M le long de $T_a \cup T_b \cup T_c$.



- Chacun des M_i est Haken à bord non vide, et soit:
 - Un fibré de Seifert.
 - Hyperbolique de volume $< \infty$

$$\pi_1(M) = \pi_1 \left(\begin{array}{c} \begin{array}{ccccc} & \xrightarrow{d_a^-} & \mathbb{Z} \oplus \mathbb{Z} & \xrightarrow{d_a^+} & \pi_1(M_2) & \xrightarrow{d_b^-} & \mathbb{Z} \oplus \mathbb{Z} & \xrightarrow{d_b^+} & \\ \pi_1(M_1) & & & & & & & & \pi_1(M_3) \end{array} \\ \begin{array}{c} \text{Diagram of } \pi_1(M_2) \text{ as a circle with } \mathbb{Z} \oplus \mathbb{Z} \text{ at the bottom and } d_c^\pm \text{ arrows.} \end{array} \end{array} \right)$$

$\pi_1(M)$ est le "groupe fondamental d'un graphe de groupe".

$$\begin{array}{l} \pi_1(M_1), \pi_1(M_2), \pi_1(M_3) \hookrightarrow \pi_1(M) \text{ - sous-groupes de sommet -} \\ \mathbb{Z} \oplus \mathbb{Z} \hookrightarrow \pi_1(M_1), \pi_1(M_2), \pi_1(M_3) \text{ - sous-groupes d'arête -} \end{array}$$

Théorème de conjugaison dans un amalgame $A *_C B$

$$- A *_C B = \pi_1(M), \quad M = M_A \amalg_{M_C} M_B$$

Algèbriquement

Topologiquement

- u et v des mots sur les gènes de $A \cup B$.
- $u \sim v$ dans $A *_C B$

- u et v des lacets de M .
- u et v bordent un anneau sing. de M

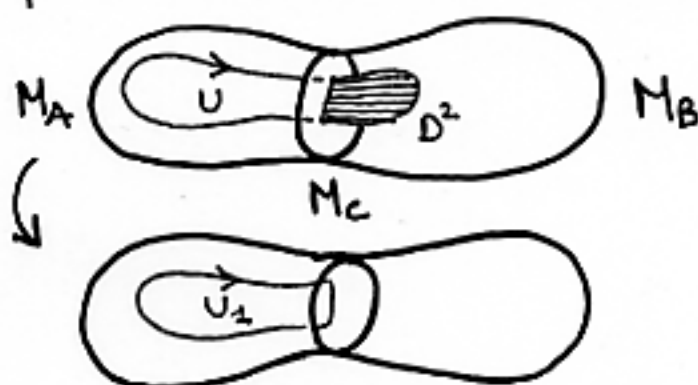
- "Réduction cyclique" de u et v en u_1 et v_1 , conjugués respectifs.

$$u \sim v \iff u_1 \sim v_1$$

- Constructibilité de ce procédé:

se réduit à l'algorithme qui décide $\forall w \in A \cup B, \exists i \in C$.
(i.e. $\mathcal{GWP}(C; A)$ et $\mathcal{GWP}(C; B)$.)

- Simplification de u et v en u_1 et v_1 qui leur sont (resp.), lib^e homotopes



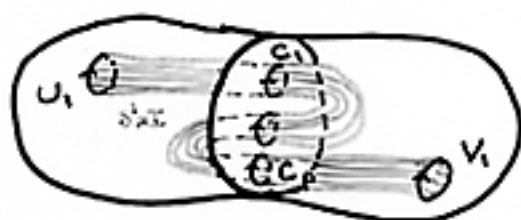
①

$u_1 \sim v_1$ dans A



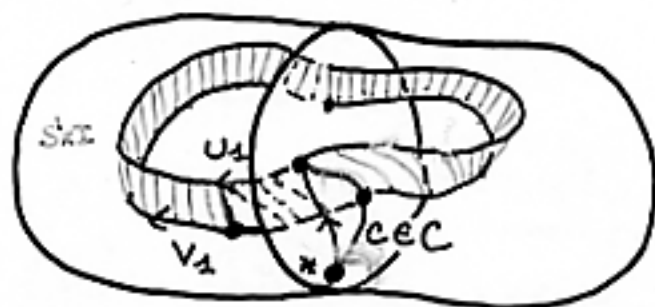
②

$u_1 \sim c_1$ dans A ; $c_1 \in C$
 $v_1 \sim c_p$ dans B ; $c_p \in C$
 \exists suite $(c_1; c_2; \dots; c_p)$ de C ,
 2 termes consécutifs sont conj. de $A \cup B$



③

u_1 est conjugué à un "conjugué cyclique" de v_1 par un élément $c \in C$
 $u_1 = c \cdot v_1 \cdot c^{-1}$



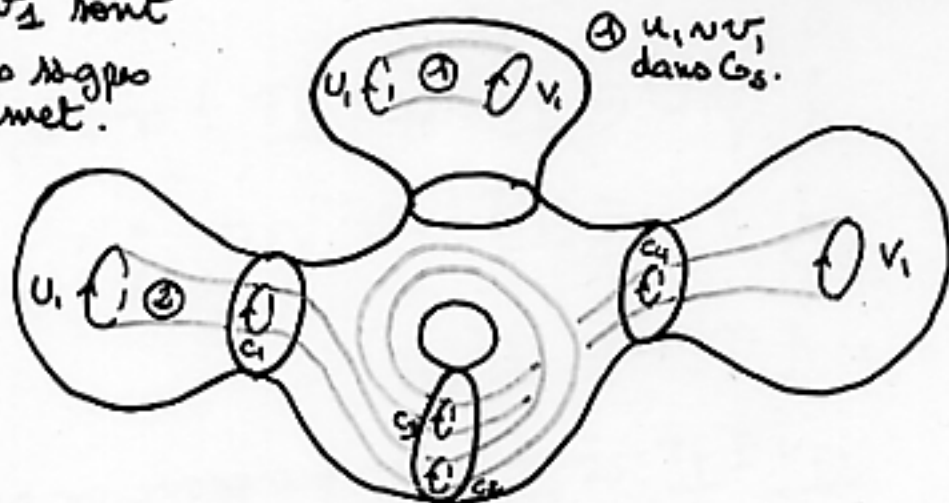
Théorème de Conjugaison dans un graphe de groupe.

$G = \pi_1(\mathcal{G}; X)$. On note G_s un ss-gpe de sommet, G_a un ss-gpe d'arête.

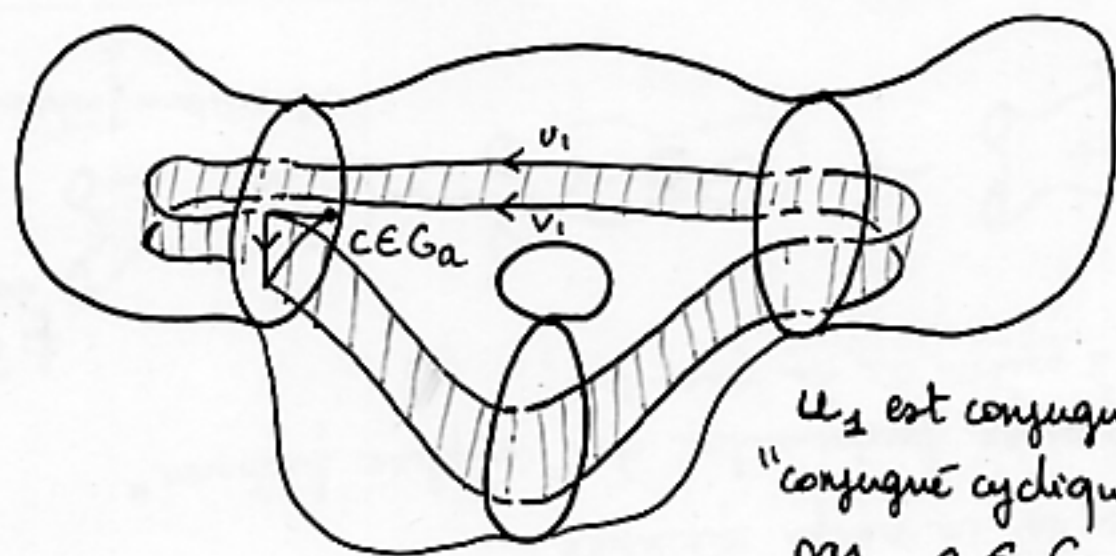
→ On dispose d'une procédure de "réduction" de mots.
 Sa constructibilité se réduit à $\mathcal{G} \text{ WP}(G_a, G_s)$ pour tout sous-groupe d'arête G_a , inclus dans un ss-gpe de sommet G_s .

→ Données 2 éléments arbitraires u, v , on les réduit en u_1, v_1
 $u \sim v \iff u_1 \sim v_1$ dans $\pi_1(\mathcal{G}; X)$

1) u_1 et v_1 sont dans des ss-gps de sommet.



② On a une suite de conjugaison dans des ss-gps de sommet :
 $u \sim c_1 \sim c_2 \sim c_3 \sim c_4 \sim v_1$



Théorème de Conjugaison dans un graphe de groupe.

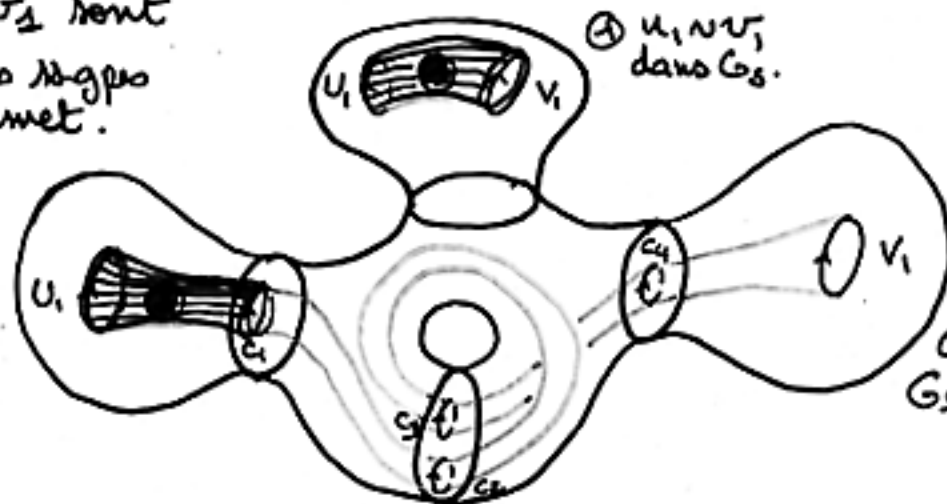
$G = \pi_1(\mathcal{G}; X)$. On note G_s un ss-gpe de sommet, G_a un ss-gpe d'arête.

→ On dispose d'une procédure de "réduction" de mots.

Sa constructibilité se réduit à $\mathcal{E}_{\text{WFL}}(G_a, G_s)$ pour tout sous-groupe d'arête G_a , inclus dans un ss-gpe de sommet G_s .

→ Données 2 éléments arbitraires u, v , on les réduit en u_1, v_1
 $u \sim v \iff u_1 \sim v_1$ dans $\pi_1(\mathcal{G}; X)$

1) u_1 et v_1 sont dans des ss-gps de sommet.

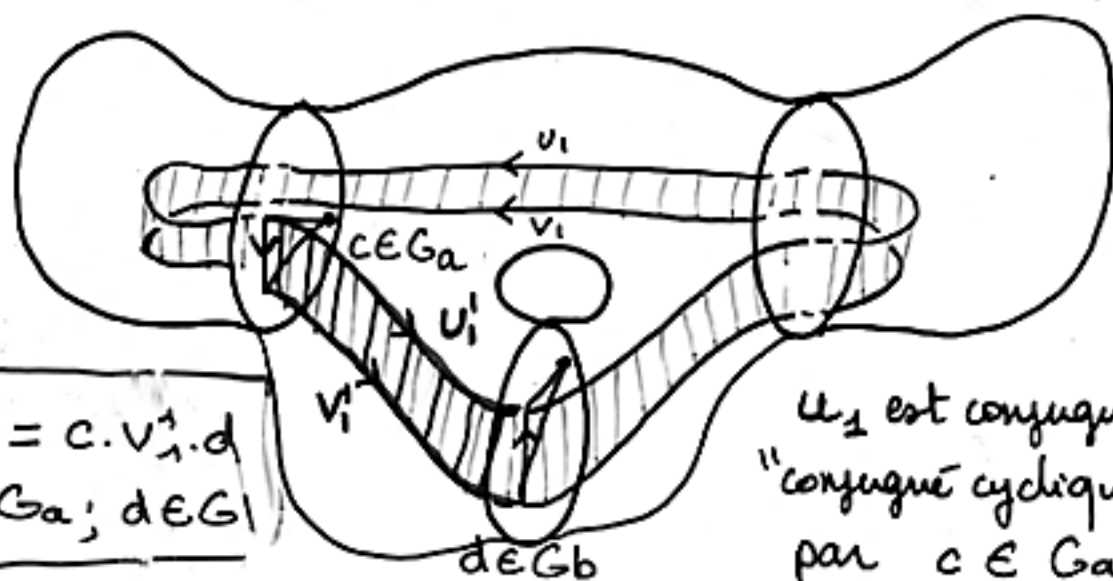


● CP dans G_s

● Décider si $w \in G_s$ est conjugué dans G_s à un él⁺ de G_a

③ On a une suite de conjugaison dans des ss-gps de sommet :
 $u \sim c_1 \sim c_2 \sim c_3 \sim c_4 \sim v_1$

2)



$$u_1^{\pm} = c \cdot v_1^{\pm} \cdot d$$

$c \in G_a; d \in G_b$

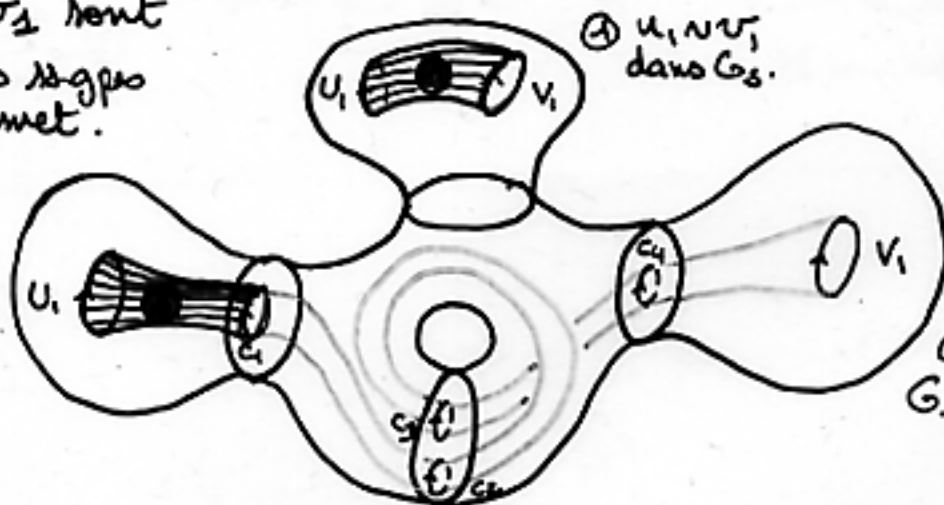
u_1 est conjugué à un "conjugué cyclique" de v_1 par $c \in G_a$ -

Théorème de Conjugaison dans un graphe de groupe.

$G = \pi_1(\mathcal{G}; X)$. On note G_s un ss-gpe de sommet, G_a un ss-gpe d'arête.

- On dispose d'une procédure de "réduction" de mots.
 Sa constructibilité se réduit à $\mathcal{G} \text{ w.f. } (G_a, G_s)$ pour tout sous-groupe d'arête G_a , inclus dans un ss-gpe de sommet G_s .
- Données 2 éléments arbitraires u, v , on les réduit en u_1, v_1
 $u \sim v \iff u_1 \sim v_1$ dans $\pi_1(\mathcal{G}; X)$

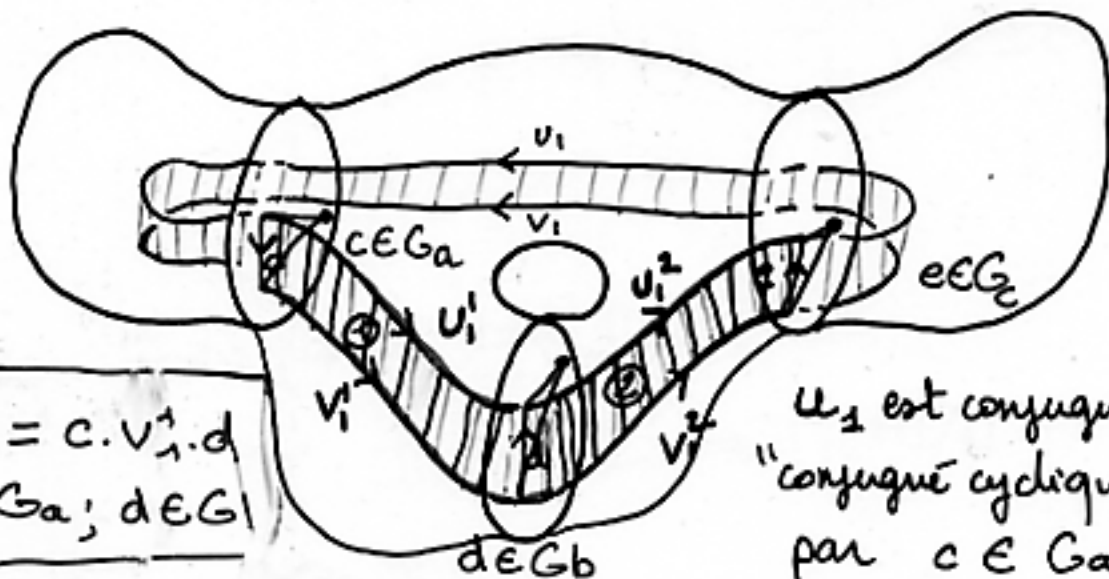
1) u_1 et v_1 sont dans des ss-gpes de sommet.



● CP dans G_s

● Décider si $w \in G_s$ est conjugué dans G_s à un él⁺ de G_a

2) On a une suite de conjugaison dans des ss-gpes de sommet :
 $u \sim c_1 \sim c_2 \sim c_3 \sim c_4 \sim v_1$



$$\textcircled{1} u_1^1 = c \cdot v_1^1 \cdot d$$

$c \in G_a; d \in G$

$$\textcircled{2} u_1^2 = d^{-1} \cdot v_1^2 \cdot e$$

$d \in G_b; e \in G_c$

u_1^2 est conjugué à un "conjugué cyclique" de v_1^2 par $c \in G_a$ -

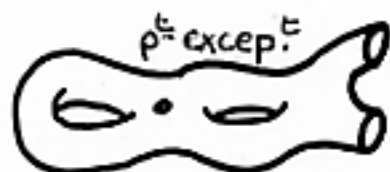
Le cas d'une pièce admettant une fibration de Seifert

- Nous pouvons supposer que $\pi_1(M)$ est infini, et que $M \times S^1 \times S^1 \times I$ et $M \times S^1 \times D^2$
- M admet une foliation en cercles, appelés fibres (régulières ou exceptionnelles.)



$$M = \cup S^1$$

Identifia tte fibre
en un point.



base B : surface or. ou non.

- M admet un nombre fini de fibres exceptionnelles. Si l'on retire un voisinage régulier ($\approx S^1 \times D^2$) de chaque fibre exceptionnelle, on obtient un S^1 -fibré sur une surface (or. ou non) :
 M est obtenu par obturations de Dehn sur un S^1 -fibré -
Les âmes des tores d'obturation sont les fibres exceptionnelles.

- Toutes les fibres régulières (pointées) sont (à orientation près) dans la même classe de $\pi_1(M)$.

On note cette classe h .

C'est un élément d'ordre ∞ de $\pi_1(M)$.

$N = \langle h \rangle \cong \mathbb{Z}$ est appelé "La fibre".

La classe d'une fibre exceptionnelle est racine d'un élément de N .

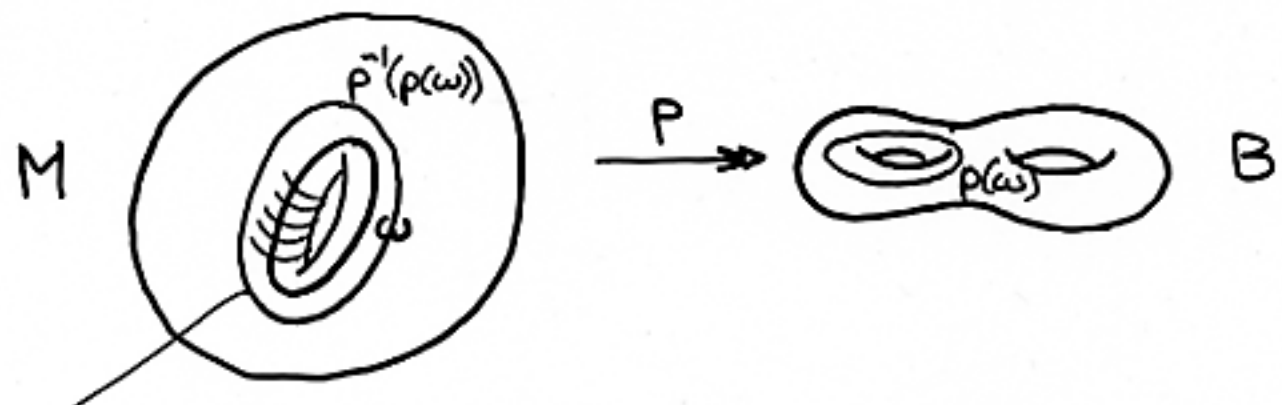
N est un sous-groupe normal cyclique infini de $\pi_1(M)$

$$1 \longrightarrow \mathbb{Z} \longrightarrow \pi_1(M) \xrightarrow{\pi} \pi_1(M)/\mathbb{Z} \longrightarrow 1$$

\parallel
 N : La fibre

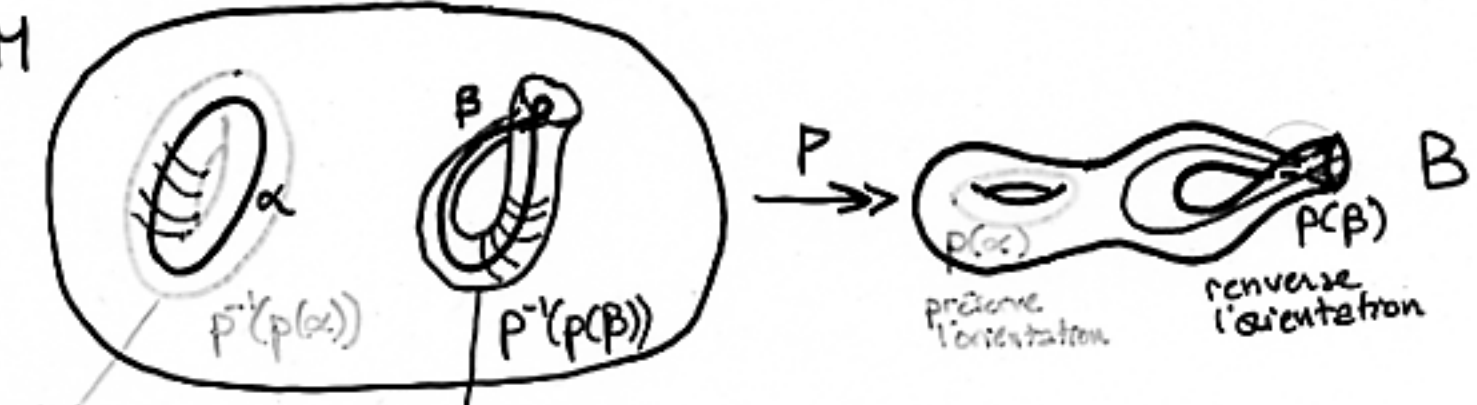
$$1 \longrightarrow N \longrightarrow \pi_1(M) \xrightarrow{\pi} \pi_1(M)/\mathbb{Z} \longrightarrow 1$$

① Si la base B est orientable



$p^{-1}(p(\omega))$ est un tore fibré en fibres régulières -
 $\Rightarrow N$ est central dans $\pi_1(M)$; i.e $\forall \omega \in \pi_1(M)$, $[\omega, h] = 1$

② Si la base B est non orientable



$S_1 \times S^1$ fibré en fib. rég. KB_2 fibré en fib. rég.

$\Gamma \triangleleft \pi_1(B)$: ensemble des éléments qui préservent l'orientation.

$$\forall \omega \in \pi_1(M) \quad h \cdot \omega = \omega \cdot h^\varepsilon$$

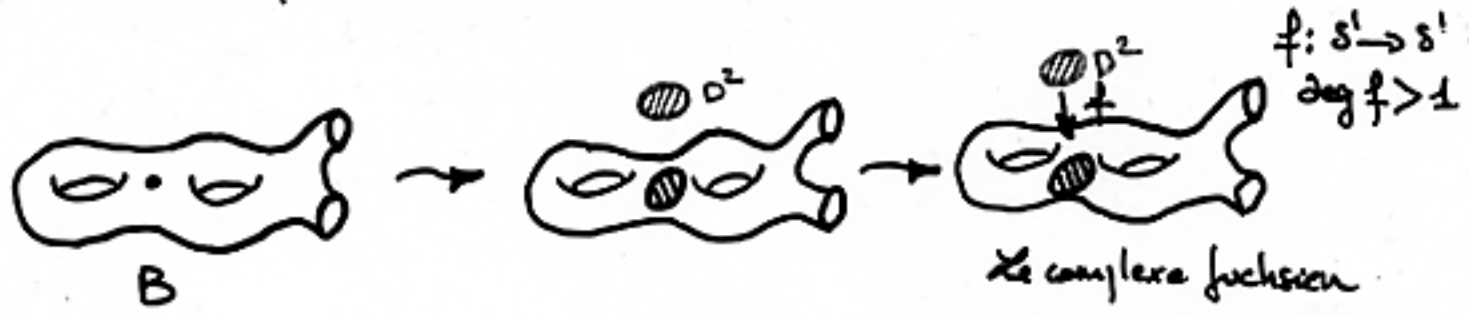
"Anti-commutativité"

$\varepsilon = 1$ si $p_*(\omega) \in \Gamma$
 $\varepsilon = -1$ sinon

$$1 \rightarrow N \rightarrow \pi_1(M) \xrightarrow{\pi} \pi_1(M)/\mathbb{Z} \rightarrow 1$$

$\pi_1(M)/\mathbb{Z}$ est un groupe fuchsien.

C'est le groupe fondamental du "complexe fuchsien" construit à partir de la base B:



Résoudre dans $\pi_1(M)$

$T_1; T_2 \approx \mathbb{Z} \oplus \mathbb{Z}$ provenant de ∂M .

$\forall u, v \in \pi_1(M)$

① ? $\exists c \in T_1; u \sim c$?

② ? $\exists c \in T_1; d \in T_2; u = c.v.d$?

③ ? $u \sim v$? CP dans $\pi_1(M)$.

Idée: "Faire passer dans $\pi_1(M)/N$ ".

$$\pi: \pi_1(M) \longrightarrow \pi_1(M)/N$$

$$\text{Ker } \pi = N$$

Pour tout $u \in \pi_1(M)$, on notera $\underline{u} = \pi(u) \in \pi_1(M)/N$

Algorithmes ① et ② - Points clés -

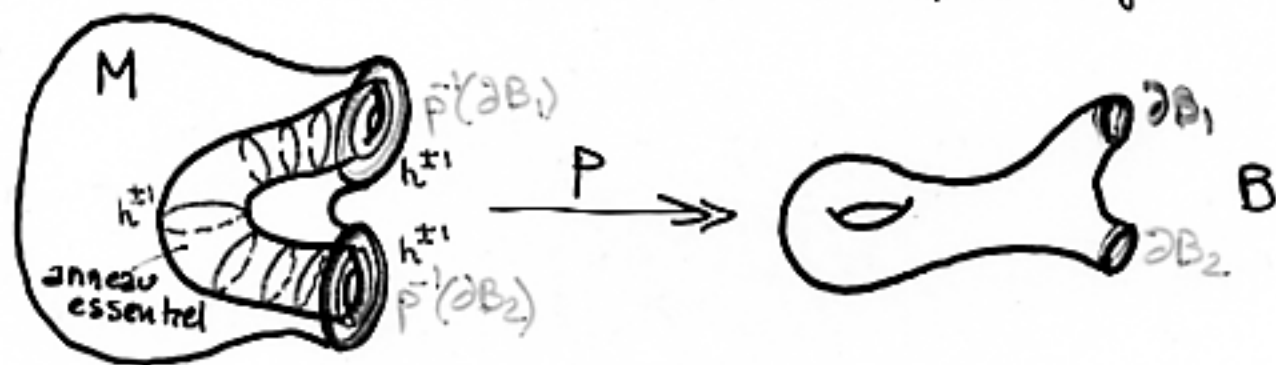
- Dans ces cas, nécessairement $\partial M \neq \emptyset \implies \partial B \neq \emptyset$

$\implies \pi_1(M)/N$ est un produit libre de groupes cycliques -

- $\partial M = p^{-1}(\partial B)$ est fibré en fibres régulières -

$\implies \wedge^i T_1, T_2, \dots, T_p \approx \mathbb{Z} \oplus \mathbb{Z}$ proviennent de ∂M ,
 $N \subset T_1 \cap T_2 \cap \dots \cap T_p$

■ Les anneaux essentiels sont fibrés en fibres régulières -



Résolution de ①

? $\exists c \in T_{\pm}; \omega \sim c?$ dans $\pi_1(M)$

? $\exists \underline{c} \in \underline{P}(T_{\pm}); \underline{\omega} \sim \underline{c}?$ dans $\pi_1(M)/N$

\rightsquigarrow On trouve aisément au plus 1 solution dans $\pi_1(M)/N$

$$\underline{\omega} = \underline{v} \underline{c} \underline{v}^{-1}$$

$(\text{Ker } \pi = N) \implies \omega = v c v^{-1} h^n$ dans $\pi_1(M)$, pour $\pm 1! n \in \mathbb{Z}$
 $= v \underbrace{c h^{\varepsilon n}}_{\in T_{\pm}} v^{-1}$ $\varepsilon = \pm 1$

\implies On a trouvé $c \in T_{\pm};$ tq $\omega \sim c$
 Avec la structure des anneaux essentiels, au + 2 éléments de T_{\pm} sont conjugués à ω .
 Si $\omega \sim h^n$, alors éventuellement $\omega \sim h^{-n}$ \square

Résolution de (L) :

? $\exists c \in T_1, d \in T_2; u = c \cdot v \cdot d$? dans $\pi_1(M)$

? $\exists \underline{c} \in \pi(T_1); \underline{d} \in \pi(T_2); \underline{u} = \underline{c} \cdot v \cdot \underline{d}$? dans $\pi_1(M)/N$

→ On trouve aisément au + 1 couple solution dans $\pi_1(M)/N$

$$\exists ! \underline{c}; \underline{d}; \underline{u} = \underline{c} \cdot v \cdot \underline{d}$$

$$\Rightarrow \begin{matrix} u = \underline{c} \cdot v \cdot \underline{d} \cdot h^n \\ \in T_1 \quad \in T_2 \end{matrix} \text{ pour } \pm 1 \cdot n \in \mathbb{Z}, \text{ dans } \pi_1(M)$$

→ On trouve éventuellement 1 couple solution dans $\pi_1(M)$.

Structure des

Anneaux essentiels

$$\Rightarrow \text{Solutions} = \{ (c_0 \cdot h^n; d_0 \cdot h^{\epsilon n}); n \in \mathbb{Z} \}$$

$\epsilon = \pm 1$.

Dans le réseau $\mathbb{Z} \oplus \mathbb{Z} \subset \widetilde{S^1 \times S^1}$, les solutions possibles pour d se trouvent sur une droite



Solutions éventuelles pour d

Considérer le "ruban adjacent" dans une pièce voisine, permet de déterminer d'autres solutions pour $d \in T_2$

→ Au plus 1 solution pour d \Rightarrow Au plus 1 couple solution \square

Résolution de (2) :

? $\exists c \in T_1, d \in T_2 ; u = c \vee d ?$ dans $\pi_1(M)$
 ? $\exists \underline{c} \in \pi(T_1); \underline{d} \in \pi(T_2); \underline{u} = \underline{c} \vee \underline{d} ?$ dans $\pi_1(M)/N$

On trouve aisément au + 1 couple solution dans $\pi_1(M)/N$

$\exists ! \underline{c}; \underline{d} ; \underline{u} = \underline{c} \cdot \underline{v} \cdot \underline{d}$

$\Rightarrow u = \underbrace{c}_{\in T_1} \cdot v \cdot \underbrace{d}_{\in T_2}$ pour $\exists ! n \in \mathbb{Z}$, dans $\pi_1(M)$

On trouve éventuellement 1 couple solution dans $\pi_1(M)$.

Structure des

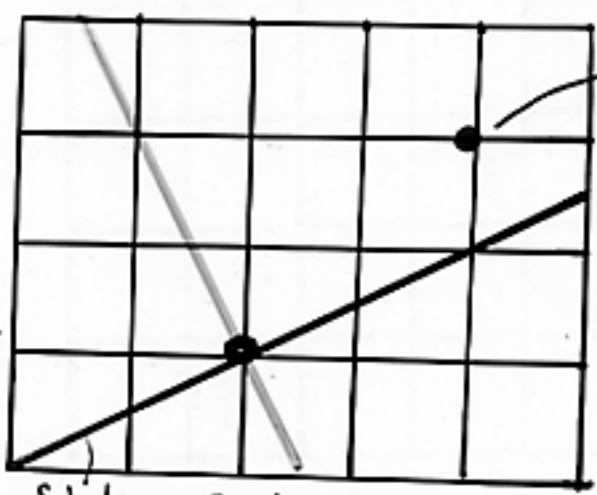
Anneaux essentiels \Rightarrow Solutions = $\{(c \cdot h^n; d \cdot h^{\epsilon n}); n \in \mathbb{Z}\}$
 $\epsilon = \pm 1$.

Dans le réseau $\mathbb{Z} \oplus \mathbb{Z} \subset \widetilde{S^1 \times S^1}$, les solutions possibles pour d se trouvent sur une droite

La pièce voisine est un Seifert

Les solutions pour d sont sur une droite de pente \neq

(Dans ce cas on a trouvé une solution pour d , et donc un couple solution $(c; d)$.)



Solutions éventuelles pour d

Une unique solution pour d provenant de la pièce voisine hyperbolique

\Rightarrow Dans ce cas il n'y a pas de solution.

Considérer le "ruban adjacent" dans une pièce voisine, permet de déterminer d'autres solutions pour $d \in T_2$

\rightarrow Au plus 1 solution pour $d \Rightarrow$ Au plus 1 couple solution \square

Solution au C.P. dans le groupe d'un fibre de Seif.

M un fibre de Seifert fermé, irréductible, avec $\pi_1(M)$ infini.

$$1 \longrightarrow \mathbb{Z} \longrightarrow \pi_1(M) \longrightarrow \pi_1(M)/N \longrightarrow 1$$

||
Groupe Fuchsien,
 π_1 d'une orbite fermée.

$\rightarrow \pi_1(M)/N$ est un fibre bi-automatique \Rightarrow un CP résoluble.

- Resolution

? $u \sim v$?
? $\underline{u} \sim \underline{v}$?

dans $\pi_1(M)$

dans $\pi_1(M)/N$

si $\underline{u} = \underline{a} \underline{v} \underline{a}^{-1}$ dans $\pi_1(M)/N$ Δ \underline{a} n'est pas unique

alors

$$\underline{u} = \underline{a} \underline{v} \underline{h}^n \underline{a}^{-1} \text{ dans } \pi_1(M)$$

$$\underline{a} \in \underline{a} \cdot \mathbb{Z}(\underline{v})$$

$n \in \mathbb{Z}$ unique, connu.

? $u \sim v$?

\neq si $\underline{n} = 0$, c'est clair!

\neq si $\underline{n} = 2p$, et $\underline{v} \underline{h} = \underline{h}^{-1} \underline{v}$.

$$u = \underline{a} \underline{v} \underline{h}^n \underline{a}^{-1} = \underline{a} \underline{v} \underline{h}^p \underline{h}^p \underline{a}^{-1} = \underline{a} \underline{h}^{-p} \underline{v} \underline{h}^p \underline{a}^{-1} \sim \underline{v}$$

\neq soit $\underline{x} \in \mathbb{Z}(\underline{v}) \Rightarrow \underline{x} \underline{v} \underline{x}^{-1} = \underline{v} \underline{h}^m$. si $\underline{n} = \underline{m}$

$$u = \underline{a} \underline{v} \underline{h}^n \underline{a}^{-1} = \underline{a} \underline{x} \underline{v} \underline{x}^{-1} \underline{a}^{-1} \sim \underline{v}$$

Dans quels autres cas? ...

Thme: Connaitant $n \in \mathbb{Z}$, et connaissant $\mathbb{Z}(\underline{v})$ dans $\pi_1(M)/N$ ($\cong \mathbb{Z}$ ou $\mathbb{Z} \oplus \mathbb{Z}$ ou $\pi_1(KB_2)$), un tableau indique précisément quand $u \sim v$ dans $\pi_1(M)$.

Or on dispose d'un algorithme qui fournit $\mathbb{Z}(\underline{v})$ dans $\pi_1(M)/N$

\Rightarrow Solution au CP dans $\pi_1(M)$ - QED \blacksquare

M une pièce hyperbolique de volume fini

→ $M = \mathbb{H}^3 / \Gamma$ Γ ss-gpe discret \neq torsion de $PSL(2; \mathbb{C})$
 $\text{vol} < \infty \Leftrightarrow \partial M$ est constitué de tores.

→ CP dans $\pi_1(M)$ est résoluble ($\pi_1(M)$ est biautomatique (Epstein)).

A Solution au problème de parallélisme au bord.

Thème de chirurgie hyp. (Thurston): "Presque toutes" les 3-variétés (fermées) obtenues par obturation de Dehn sur M sont hyperboliques

→ Idée: se donner 2 vars fermées hyp., M_1, M_2 obtenues par O.D sur M, avec des pentes de chirurgie distinctes.

avantage: $\pi_1(M_1)$ et $\pi_1(M_2)$ sont δ -hyperboliques. (pas d'elts paraboliques)

Surjections Canoniques: $p_1: \pi_1(M) \rightarrow \pi_1(M_1)$ Les noyaux sont normaux engendrés par les pentes de ch.
 $p_2: \pi_1(M) \rightarrow \pi_1(M_2)$

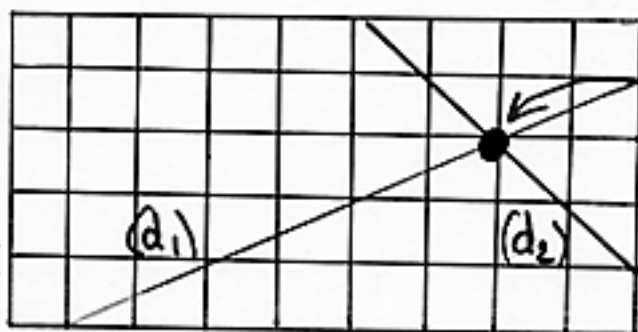
$T = \mathbb{Z} \oplus \mathbb{Z} \subset \pi_1(M)$ parabolique maximal $p_1(T) \cong p_2(T) \cong \mathbb{Z}$.

→ "Faire passer" l'algorithme dans $\pi_1(M_1)$ et $\pi_1(M_2)$.

dans $\pi_1(M)$? $\exists c \in T; w \sim c$?
 dans $\pi_1(M_i)$? $\exists c \in p_i(T); p_i(w) \sim c$? $i=1,2$.

1! solution de $\pi_1(M_i) \rightsquigarrow \mathbb{Z}$ solutions de $\pi_1(M)$

$(d_1), (d_2)$ représentent les solutions provenant de $\pi_1(M_1)$ et $\pi_1(M_2)$. Leur pente est la pente de chirurgie sur T considéré. \Rightarrow pentes distinctes.



1! solution de $\pi_1(M)$

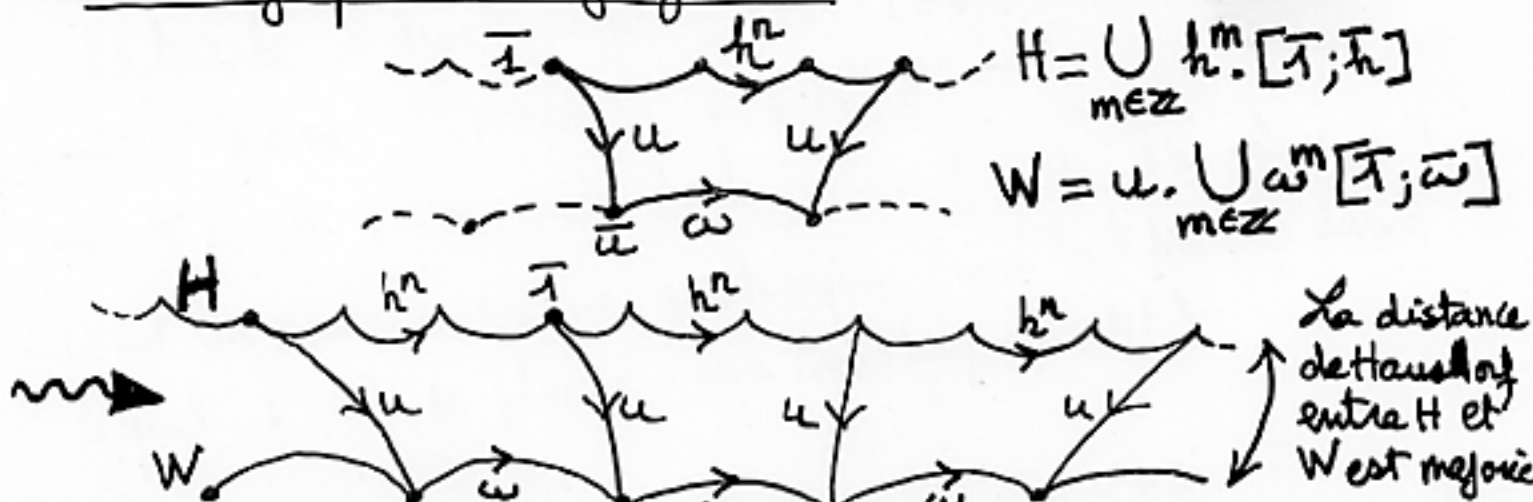
Réseau: $\mathbb{Z} \oplus \mathbb{Z} \subset \mathbb{R}^2$
 $\cong \mathbb{S}^1 \times \mathbb{S}^1$

Dans $G = \pi_1(M_\pm)$; groupe δ -hyperbolique

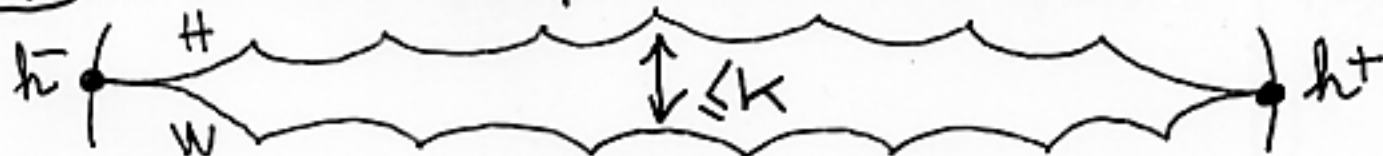
$p_\pm: \pi_1(M) \rightarrow \pi_1(M_\pm)$; $T \approx \mathbb{Z} \oplus \mathbb{Z} \subset \pi_1(M)$; $p_+(T) = \langle h \rangle \approx \mathbb{Z} \subset G$

? $\exists c \in p_\pm(T)$; $\omega \sim c$? (*)

Dans le graphe de Cayley $\Gamma(G)$: se $\exists c = h^n \sim \omega$



\Rightarrow H et W ont même points limites dans $\partial \Gamma(G)$

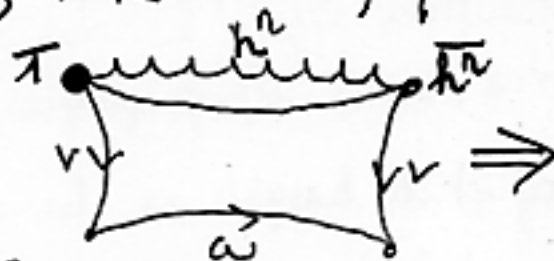


Thème de stab. des q.g. infinies \Rightarrow H et W sont à distance de Hausdorff au plus k.
 $k = k(h; \omega; \delta)$

$\Rightarrow \exists v \in G$; $|v| \leq k + cte$; qui conjugue ω en h^n

- H est une $(d; \varepsilon)$ quasigéodésique

$\Rightarrow n \cdot |h| \leq d \cdot |h^n| + \varepsilon$



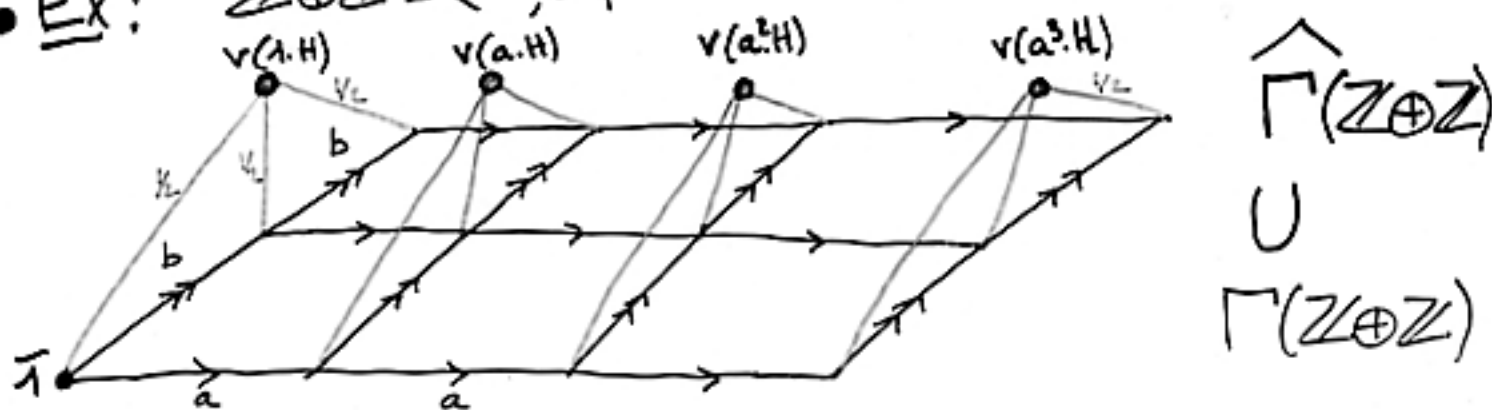
n est majorée par une cte C, ne dépend que de $h; \omega; \delta; \#gens.$

\Rightarrow On peut utiliser le CP (résoluble) pour décider si $\omega \sim h^n$ pour $n < C$
 \Rightarrow Solution de (*)

Groupes relativement hyperboliques

- ① G un gpe f.p. ; $H_1; H_2; \dots; H_n$ des ss.gpes de type fini.
 S famille g n. de G . $\Gamma(G) = \Gamma(G; S)$ le graphe de Cayley.
 Le "coned off Cayley graph" $\hat{\Gamma}(G)$ relatif   $H_1; H_2; \dots; H_n$ est
 construit   partir de $\Gamma(G)$ en ajoutant pour chaque classe
 lat rale   droite $g.H_i$ ($g \in G; i=1; 2; \dots; n$) :
- Un sommet "sp cial" $v(g.H_i)$.
 - $\forall h \in H_i$; une ar te de longueur $\frac{1}{2}$, de $\bar{g}h$   $v(g.H_i)$.
- C'est un espace m trique g od sique (non loc^l fini!); dans
 lequel $\Gamma(G)$ se plonge (non isom triquement!)

• Ex: $\mathbb{Z} \oplus \mathbb{Z} = \langle a; b \mid aba^{-1}b^{-1} \rangle$. $H = \langle b \rangle$.



D finition: G est (δ) -hyperbolique relativement   $H_1; \dots; H_n$
 si le coned off Cayley graph $\hat{\Gamma}(G)$ est (δ) -hyperbolique -

Fait:  tre hyp. rel. ne d pend de la famille g n ratrice -

- Ex: - Tout gpe G est hyperbolique relativement   $\{1\}$.
 - G hyp. rel^t   $\{1\} \Leftrightarrow G$ hyperbolique au sens de Gromov.
 - Si $N \triangleleft G$; G hyp rel.   $N \Leftrightarrow G/N$ est hyperbolique " "

② \exists surjection: Lacets de $\Gamma(G) \rightarrow \text{Lacets de } \hat{\Gamma}(G)$
 $\omega \longrightarrow \hat{\omega}$



ω est une géodésique relative si $\hat{\omega}$ est une géodésique.

ω " " quasi-géodésique relative " " quasi-géodésique

ω de $\Gamma(G)$ (ou $\hat{\omega}$ de $\hat{\Gamma}(G)$) est dit "sans boucle" si $\hat{\omega}$ ne passe pas 2 fois par un même sommet spécial $v(gH)$

Bounded coset penetration property (BCP)

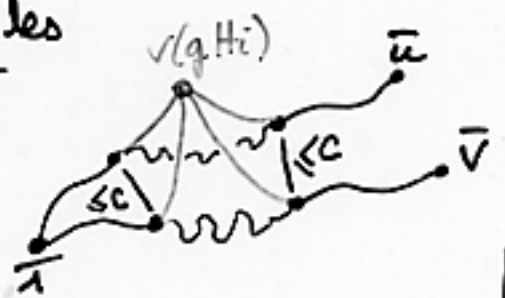
$(G; H_1, \dots, H_n)$ satisfait la propriété BCP si $\forall P \geq 1, \exists c = c(P) > 0$

tq si u et v sont des P -quasi-géodésiques relatives, sans boucles, avec $d_P(\bar{u}; \bar{v}) \leq 1$:



- Si \hat{u} passe par $v(gH_i)$, et \hat{v} non, alors u "voyage" dans gH_i sur une distance au plus c .

- Si \hat{u} et \hat{v} passent par $v(gH_i)$ alors les sommets où u et v entrent dans gH_i sont à une Γ -distance au plus c , et similairement aux sommets où u et v quittent gH_i



Motivation:

Thme (Farb): Le gpe d'une 3-variété hyp. de vol. fini est hyperbolique relativement à ses sous-gpes du bord, et satisfait la propriété BCP.